

مژویی بر پیش‌بینی نظری ریخت‌شناسی غشاهای بسپاری تهیه شده به روش تغییر فاز

سید سیاوش مدائنی^{*}، لیلا بختیاری

کرمانشاه، دانشگاه رازی، دانشکده فنی و مهندسی، مرکز تحقیقات غشاء

پیام نگار: smadaeni@yahoo.com

چکیده

این مقاله، مژویی بر تحقیقات صورت گرفته در زمینه پیش‌بینی نظری ریخت‌شناسی غشاهای بسپاری می‌باشد که با روش تغییر فاز ساخته می‌شوند. ریخت‌شناسی غشاء تاثیر بسزایی بر عملکرد آن دارد. از این‌رو، علم شناخت ریخت‌شناسی و آگاهی از ارتباط بین کارآیی و ریخت‌شناسی بسیار حائز اهمیت است. اگر بتوان با کنترل شرایط محیطی حاکم بر فرایند ساخت غشاء، به ریخت‌شناسی مورد نظر و در نتیجه کارآیی مورد انتظار از آن رسید، گام بزرگی در این جهت برداشته می‌شود.

در این تحقیق، ابتدا مختصراً به معرفی فنون مرسوم ساخت غشاء با روش تغییر فاز پرداخته شده، سپس چند نمونه از مقالات در زمینه چگونگی پیش‌بینی ریخت‌شناسی غشاء با استفاده از ترسیم دیاگرام فازی، مورد بررسی قرار گرفته است. با توجه به مطالعات انجام شده، جهت پیش‌بینی دیاگرام فازی سه جزیی، استفاده از نظریه (فلوری - هاگینز) بسیار حائز توجه است که انتهای مقاله به شرح این نظریه اختصاص یافته است. اخیراً، مدل محلول منظم تراکم پذیر نیز به این منظور به کار گرفته شده که به طور مختصراً مورد بررسی قرار گرفته است.

کلمات کلیدی: ریخت‌شناسی، غشاء، پیش‌بینی، دیاگرام فازی

۱- مقدمه

(مایع-مایع)^۱ اطلاق می‌گردد. در حین انجام این فرایند، دو فاز مایع ایجاد می‌شود که یکی از این فازها غنی از بسپار و فاز دیگر فقیر از بسپار می‌باشد [۱۰-۱۲]. در واقع، محلول بسپاری تک فاز اولیه، در اثر عوامل خارجی مختلف، ناپایدار شده و به دو فاز تفکیک می‌گردد. در نهایت، فاز غنی از بسپار بدنده اصلی غشاء و فاز فقیر از بسپار (شامل حلال و ضد حلال) حفره‌ها را ایجاد می‌کند. یعنی در مرحله‌ای خاص حین فرایند دو فازی شدن، یکی از فازهای مایع (فاز غنی از بسپار)

1. Liquid-Liquid Demixing

امروزه اکثر غشاء‌های تجاری رایج به روش تغییر فاز تهیه می‌شوند. این روش بسیار تطبیق‌پذیر بوده و لذا می‌توان انواع ساختار غشاء‌ها (غشاء‌های متخلخل و غشاء‌های متراکم) را با این روش به دست آورد. تغییر فاز روشی است که به وسیله آن یک محلول بسپاری به شکل یک بسپار جامد، تغییر حالت می‌دهد. اغلب اوقات فرایند جامد شدن با گذر از یک حالت تک فازی (محلول یکنواخت بسپاری) به سوی یک حالت دو فازی آغاز می‌گردد که به آن دو فازی شدن

جدول ۱- روش‌های روشن تغییر فاز [۲]

روش	فرایند تغییر فاز
غوطه وری	در اثر غوطه ور شدن فیلم در حمام غیرحلال، آب یا هر غیرحلال دیگری به درون فیلم نفوذ کرده و حلal خارج می‌گردد و حذف حلal سبب رسوب بسپار می‌شود.
جذب از فاز بخار	در تماس فیلم قالب‌گیری شده با یک محیط مرطوب، بخار آب به درون فیلم نفوذ کرده و سبب رسوب بسپار می‌گردد.
رسوب دهی حرارتی	سرد شدن فیلم بسپاری داغ به خاطر کاهش انحلال‌پذیری فیلم موجب رسوب‌دهی می‌شود.
تبخیر حلال	تبخیر حلال از محلول قالب‌گیری و تغییر یافتن ترکیب محلول سبب رسوب دادن فیلم می‌گردد.
ریخته‌گری خشک	در این فرایند از دو حلال، یکی فرار و دیگری غیر فرار استفاده می‌شود که با خارج شدن حلال فرار از روی فیلم بسپاری، تغییر فار و به دنبال آن غشاء ایجاد می‌شود.

۲- پیش‌بینی ریخت‌شناسی غشاء با استفاده از ترسیم دیاگرام فازی

پیش‌بینی ساختار غشاء تهیه شده با هر یک از فنون تغییر فاز، بهوسیله بررسی ترمودینامیکی (رفتار فازی) و سینتیکی (انتقال جرم) انجام‌پذیر است [۱۵ و ۱۶].

۳- اثر دمای حمام انعقاد در تکنیک رسوب‌گذاری بهوسیله غوطه وری

یانگ و همکارانش ترمودینامیک تعادلی سیستم سه جزیی (آب/ایدی‌متیل سولفوكساید/^۳ پلی‌اتیلن-کو-وینیل الکل)^۳ را در دماهای متفاوت بررسی کردند [۸]. یک شکل اجمالی از آن در شکل (۱) دیده می‌شود. در دمای ۲۵ درجه سلسیوس، مرز باینودال زیر خط تبلور قرار می‌گیرد. در نتیجه، از نظر ترمودینامیکی، شرایط مطلوب برای روی دادن تبلور، زودتر از دو فازی شدن (مایع-مایع) ایجاد می‌شود. هرچند، هسته‌زایی حفره‌ها در دو فازی شدن (مایع-مایع) معمولاً سریع‌تر از هسته‌زایی بلورهای بسپار در تبلور می‌باشد. بنابراین، ترتیب واقعی این دو رویکرد، در فرایند جدایی فازی، به فاکتورهای سینتیک نیز وابسته است. ممکن است حتی اگر

2. Dimethyl Sulfoxide (DMSO)

3. Polyethylene -Co-Cinyl Alcohol (EVAL)

به جامد تبدیل شده و بدین ترتیب ساختار جامد غشاء شکل می‌گیرد [۳]. اگرچه، روش‌های متعددی جهت رسوب محلول بسپاری وجود دارد، ایجاد یک فیلم نازک از محلول مورد نظر، بر روی یک نگهدارنده مناسب و غوطه وری آن در حمام ضد حلال، یک روش متداول برای تهیه غشاهای بسپاری در فرایند تغییر فاز است. این روش، تغییر فاز با استفاده از رسوب گذاری غوطه وری نامیده می‌شود [۱۰-۱۳]. با کنترل عوامل مؤثر در فرایند تغییر فاز می‌توان ساختار غشاء را کنترل کرد. به عنوان مثال درصد تخلخل غشاء را می‌توان با تغییر در عواملی از قبیل غلظت افزودنی‌ها و نوع غیر حلال تغییر داد [۱۱]. با توجه به پارامترهای قابل کنترل زیادی که در این فرایند نسبت به سایر روش‌های ساخت غشاهای بسپاری وجود دارد، می‌توان با انجام آزمایش‌های مختلف، روش بهینه ای را برای ساخت غشاء با خواص مورد نظر یافت. همچنین تعدادی از محققین توانسته اند یک گام فراتر نهاده و با استفاده از نتایج آزمایش‌ها و مدل‌سازی ریاضی، به حالتی بهینه برای ساخت غشاء از طریق این فرایند دست یابند [۱۲]. روش‌های متفاوتی برای به ثمر رسیدن این تغییر فاز وجود دارد که عبارتند از:

۱- تبخیر حلال

۲- تغییر فاز با استفاده از گرما

۳- تغییر فاز با استفاده از فاز بخار

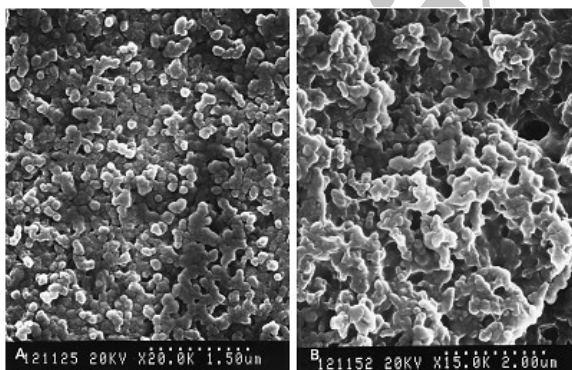
۴- تغییر فاز با استفاده از رسوب گذاری غوطه وری

۵- ریخته‌گری خشک^۱

روش تغییر فاز با استفاده از دما، در مقایسه با سایر روش‌ها، مزایای ویژه‌ای دارد. این روش برای گستره وسیعی از بسپارها خصوصاً بسپارهای با انحلال‌پذیری پایین که در سایر روش‌ها مناسب نیستند، کاربرد دارد. این روش می‌تواند برای ایجاد غشاهای متراکم، متخلخل و یا حتی متخلخل نا متقابن با تخلخل حدود ۹۰٪ به کار رود. روی هم‌رفته، تغییر فاز با استفاده از دما، بسیار انعطاف‌پذیرتر از سایر روش‌ها می‌باشد [۱۳ و ۱۴]. اکثر غشاهای حاصله با روش تغییر فاز، با استفاده از روش رسوب‌سازی در اثر غوطه‌وری ساخته می‌شوند. هر کدام از روش‌های مورد استفاده در فرایند تغییر فاز، به روشنی متفاوت، باعث رسوب دادن فیلم قالب‌گیری شده، می‌شوند که خلاصه آن در جدول (۱) آمده است.

1. Dry-Cast

دارد. در دماهای پایین (به عنوان مثال ۲۵ درجه سلسیوس) غشاء با مکانیسم تبلور بسپاری ایجاد شده و دارای ریخت‌شناسی ذره‌ای^۲ (شکل (۲)) است. در صورتی که، در دماهای بالا (به عنوان مثال ۶۵ درجه سلسیوس) مکانیسم دو فازی شدن (مایع - مایع) در حمام انعقاد غالب می‌باشد و ریخت‌شناسی (خانه- خانه)^۳ (شکل (۳)) در غشاء تشکیل شده مشاهده می‌گردد. ریخت‌شناسی غشاء حاصل از این روش، در دماهای مابین این دو حالت، ترکیبی از دو ریخت‌شناسی ذکر شده می‌باشد. در نتیجه، در این بررسی ارتباط مستقیمی بین ریخت‌شناسی غشاء تشکیل شده و رفتار فازی، مشاهده شده است. به عبارت دیگر تبلور و دو فازی شدن (مایع- مایع) به یک اندازه در فرایند تشکیل غشاء اهمیت دارند. زمانی که حفره‌ها کروی شکل، بزرگ و منظم باشند، احتمال دارد که ابتدا دو فازی شدن (مایع- مایع) روی دهد و قبل از کامل شدن آن، در دیواره حفره‌ها تبلور بسپاری آغاز شده باشد. همچنین، ممکن است دو فازی شدن (مایع- مایع) و تبلور، همزمان رخ دهنند [۱۷، ۱۶ و ۱۰]. در نتیجه پیش‌بینی که با استفاده از دیاگرام فازی می‌توان داشت، با ریخت‌شناسی غشاهای ساخته شده در دماهای مختلف حمام انعقاد، کاملاً مطابقت دارد.



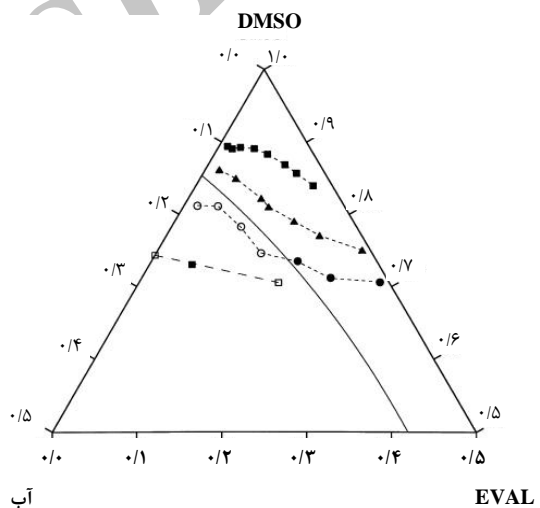
شکل ۲- عکس SEM غشاء ساخته شده با ۲۰ درصد وزنی از بسپار در دمای ۲۵ درجه سلسیوس [۱۷] (الف) سطح بالایی (ب) مقطع عرضی

۲-۲ اثر مدت تبخیر در فن تبخیر حلال

زمان تبخیر نه تنها نقش مهمی در پیدایش بزرگ حفره‌ها دارد، بلکه ریخت‌شناسی غشاء را از ساختار ذره‌ای تا اسفنجی شکل^۴ تغییر

2. Particulate
3. Cellular
4. Sponge-Like

باينodal زیر خط تبلور باشد، دو فازی شدن (مایع- مایع) در کل فرایند تغییر فاز غالب شود. برخلاف خط تبلور که تغییرات قابل توجهی با دما دارد، منحنی باينodal تنها اندکی تحت تأثیر دماست. در نتیجه، این دو نوع محدوده تبدیل فازی با بالا رفتن دما به هم نزدیک می‌شوند و سرانجام در دمای ۶۵ درجه سلسیوس، یکدیگر را قطع می‌کنند. بدین ترتیب، غشاهایی که در دماهای بالا تهیه می‌شوند تمایل بیشتری به ساختار مشتق شده از دو فازی شدن (مایع- مایع) نسبت به ساختار تبلور نشان می‌دهند. چنین روندی، به خوبی از طریق عکس‌های پویش الکترونی میکروسکوپی^۱ که از غشاها رسوب یافته در دماهای مختلف گرفته شده اثبات می‌شود [۱۰ و ۹].

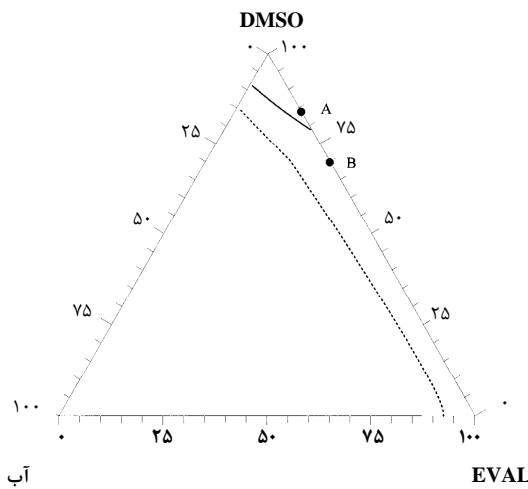


شکل ۱- دیاگرام فازی سیستم سه جزئی (آب/ دی‌متیل) (سولفوكساید/ پلی اتیلن-کو-وینیل) (الکل: (■) - داده‌های تبلور در دمای ۲۵ درجه سلسیوس (▲) - دمای ۴۵ درجه سلسیوس؛ (○) - داده‌های سلسیوس؛ (○-) - داده‌های باينodal در دمای ۶۵ درجه سلسیوس؛ (-) دمای ۷۵ درجه سلسیوس؛ (□) داده‌های تایلان [۹] (□-■-□) داده‌های تایلان [۹]

تأثیر دمای حمام انعقاد، بر ساختار غشاء بسپاری از جنس (پلی اتیلن-کو-وینیل الکل) که با روش تغییر فاز ساخته می‌شود، بررسی شده است. نتایج این تحقیقات نشان داده که با تغییر دما، رفتار فازی سیستم تشکیل غشاء، تغییر می‌کند. در دماهای مختلف، امکان سنتر ریخت‌شناسی‌های متنوعی برای غشاء مورد نظر وجود

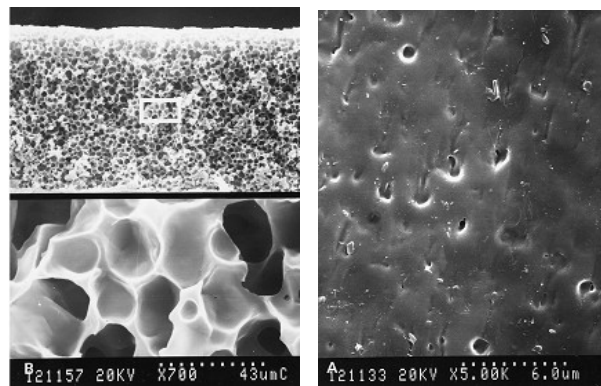
1. Scanning Electron Microscopy (SEM)

در محدوده ناحیه تک فاز روی محور (بسپار / حلال) (نقطه A) قرار بگیرد، بعد از غوطه وری در حمام انعقاد، قبل از ناحیه دو فازی (مایع- مایع) وارد ناحیه دو فازی (مایع- جامد) می شود.



شکل ۴- دیاگرام فازی سیستم سه گانه (آب/ دی متیل سولفوکساید/ (پلی اتیلن- کو- وینیل الکل)) در درجه سلسیوس [۱۸]: (-) خط تعادلی تبلور؛ (—) منحنی باینودال

البته، علاوه بر ترمودینامیک، سینتیک نیز نقش مهمی در تشکیل غشاء دارد. دو فازی شدن (مایع- مایع) معمولاً خیلی سریع پیش می رود، در حالی که، تبلور بسپار، به شدت وابسته به سرعت تبادل (حلال / ضد حلال) است. بنابراین، اگر انتقال جرم بسیار سریع باشد، این امکان وجود دارد که دو فازی شدن (مایع- جامد) روی ندهد و فیلم نازک بسپاری تا زمانی که از محدوده باینودال عبور نکرده به صورت همگن باقی بماند. درنتیجه، ابتدا دو فازی شدن (مایع- مایع) روی می دهد و در ساختار غشاء تأثیر می کند. در حالی که، اگر انتقال جرم سریع نباشد، احتمالاً طی فرایند تشکیل غشاء از محلول بسپاری، تبلور صورت می گیرد. به طور کلی، مدتی که محلول غشایی قبل از وارد شدن به ناحیه دو فازی (مایع- مایع) در ناحیه دو فازی (مایع- جامد) قرار می گیرد، جهت تشخیص نوع جدایی فازی که روی خواهد داد، بسیار مهم است. به عنوان مثال، زمانی که دو سیستم، سینتیک نفوذ یکسانی داشته باشند، سیستمی که موقعیت آن از خط تعادلی تبلور و منحنی باینودال دورتر است، زمان بیشتری جهت متبلور شدن بسپار خواهد داشت. در مقابل، اگر دو



(الف)

(ب)

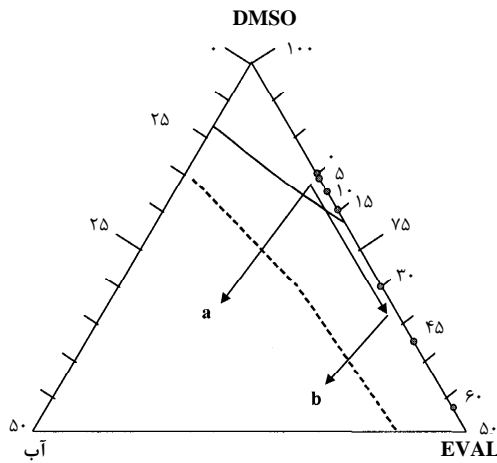
شکل ۳- عکس SEM غشاء ساخته شده با درصد وزنی از بسپار در درجه ۶۰ سلسیوس [۱۷] (الف) سطح بالایی (ب) مقطع عرضی

می دهد. اگر غوطه وری فیلم نازک بسپاری در حمام آب، خیلی سریع روی دهد یا مدت تبخیر کمتر از ۱۵ دقیقه باشد، بزرگ حفره ها در غشاء دیده می شوند. اگر این زمان ۳۰ دقیقه باشد، از تعداد بزرگ حفره ها کاسته شده و ساختار اسفنجی شکل مشاهده می شود. درصورتی که مدت تبخیر بیشتر (۴۵ و یا ۶۰ دقیقه) باشد، یک ساختار متقارن مشاهده می شود که شامل محفظه نگهدارنده^۱ متشکل از ذرات تقریباً هم اندازه است. این حالت ناشی از تبلور بسپار (پلی اتیلن- کو- وینیل الکل) است که در آن، فرایند دو فازی شدن (مایع- جامد) غالب است. با توجه به دیاگرام فازی، فرایند تبلور، مستقیماً وابسته به میزان عمق ناحیه دو فازی (مایع- جامد) می باشد [۱۸].

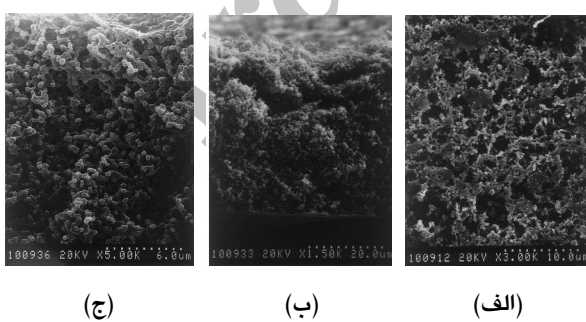
وضعیت ترمودینامیکی (رفتار فازی) و سینتیکی (انتقال جرم) فرایند، مشخص می کند که دو فازی شدن (مایع- جامد) و یا دو فازی شدن (مایع- مایع) غالب، باشد [۱۶، ۲۰، ۱۹، ۵]. دیاگرام فازی سیستم سه گانه (آب/ دی متیل سولفوکساید/ (پلی اتیلن- کو- وینیل الکل)) در درجه ۲۵ سلسیوس بر پایه داده های ترمودینامیکی و آزمایشگاهی ترسیم و در شکل (۴) مشخص شده است. یک ناحیه تک فاز و دو ناحیه دو فاز (دو فازی (مایع- جامد) و دو فازی (مایع- مایع) در شکل مشاهده می شود. محدوده دوفازی (مایع- مایع) در داخل ناحیه دو فازی (مایع- جامد) قرار گرفته است. بنابراین، اگر فیلم نازک بسپاری دارای ترکیبی باشد که

1. Support

در شکل (۶) ساختار ذره‌ای غشاء بخوبی مشهود است که تأثیر مستقیم تبخیر حلال می‌باشد و در شکل (۷) تصویری از غشاء بدون تبخیر حلال آمده است که سطحی متراکم است و در بدنه آن حفره‌های انگشتی مانند^۱ دیده می‌شود.



شکل ۵- مسیرهای رسوب برای محلول پلی اتیلن-کو-وینیل الكل ۱۵٪ وزنی در حمام آب [۱۸]: (ا)- خط تعادلی تبلور (—): مرز باینودال (الف) بدون تبخیر، (ب) با تبخیر (اعداد علامت‌گذاری شده مشخص‌کننده مدت تبخیر می‌باشند)



شکل ۶- عکس SEM غشاء ساخته شده با ۱۵ دقیقه تبخیر از بسپار (مدت تبخیر ۶۰ دقیقه) [۱۸]: (الف) سطح بالایی، (ب) مقطع عرضی، (ج) درشت‌نمایی از مقطع عرضی

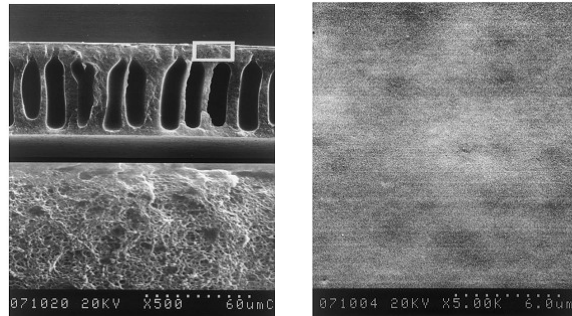
سیستم رفتار فازی یکسانی داشته باشند، سیستم با سینتیک نفوذ کننده، نیازمند زمان بیشتری است [۱۸].

تعییر مدت تبخیر حین تشکیل غشاء، تفاوت مشهودی در ریخت‌شناسی غشاء‌ها ایجاد می‌کند. این اختلاف در صورت یکسان بودن دیاگرام فازی، به دلیل سینتیک نفوذ متفاوت ایجاد می‌شود. با توجه به تفاوت در مدت وقوع دو فازی شدن (مایع- مایع) و تبلور، احتمال روی دادن تبلور اثر تبخیر را بر روی غشاء متبلور بسپاری پیچیده می‌کند. مسیر متداول تشکیل غشاء، در شکل (۵) با خط (الف) نشان داده شده است. این مسیر از نقطه (۰) آغاز شده که شامل ترکیبی از بسپار و حلال است، در ابتدا خط تبلور تعادلی و سپس مرز باینودال را بعلت تبادل حلال و ضدحال قطع خواهد کرد. در نتیجه، ابتدا باید تبلور اتفاق بیافتد، ولی اگر فرایند نفوذ خیلی سریع باشد، مدتی که محلول بسپاری در ناحیه دو فازی (مایع- جامد) قرار می‌گیرد کوتاه است و زمان کافی جهت فرایند تبلور وجود نخواهد داشت. در نتیجه، فرایند دو فازی شدن (مایع- مایع) بر مکانیسم شکل گیری غشاء غالب شده و یک غشاء نامتقارن با حفره‌های (خانه- خانه) تشکیل می‌شود. وقتی که زمان کافی جهت دو فازی شدن (مایع- جامد) وجود داشته باشد، انتظار می‌رود فرایند تبلور روی دهد. بر پایه این مفهوم، مسیر ترکیب در شکل (۵) با خط (ب) نشان داده می‌شود. زمانی که حلال بجای تبادل نفوذی با غیر حلال، محلول بسپاری را به‌واسطه تبخیر ترک کند، از مرز باینودال عبور نخواهد کرد. بنابراین تبلور زمان کافی جهت پیشرفت دارد. نقاط مشخص شده محور (بسپار/ حلال)، مربوط به مدت تبخیر حلال می‌باشد که با توجه به شکل زیر در مدت‌های تبخیر کمتر از ۱۵ دقیقه، هنوز زنجیر بسپار در محلول تبخیر شده دیده می‌شود.

در واقع، تأثیر ۱۵ دقیقه تبخیر بر روی ساختار غشاء مشهود نیست. در مقابل، با افزایش این مدت به ۴۵ و یا ۶۰ دقیقه، محلول تبخیر شده در وضعیت نیمه پایداری از تبلور قرار می‌گیرد و ساختار غشاء ایجاد شده متراکمتر می‌شود. در نتیجه، فرایند تبخیر قابلیت متبلور شدن سیستم را افزایش می‌دهد و ساختار ذره‌ای برای غشاء ایجاد می‌کند [۱۸]. این ساختار در عکس‌های SEM گرفته شده از این غشاها (شکل‌های (۶) و (۷)) دیده می‌شود.

1. Finger-Like

$$\begin{aligned} \frac{\Delta\mu_1}{RT} &= \ln \phi_1 + 1 - \phi_1 - \frac{V_1}{V_2} \phi_2 - \frac{V_1}{V_3} \phi_3 \\ &+ (\phi_2 \chi_{12} + \phi_3 \chi_{13})(\phi_2 + \phi_3) - \frac{V_1}{V_2} \phi_2 \phi_3 \chi_{23} \\ &- h_1 h_2 \phi_2 \frac{d \chi_{12}}{dh_2} - \phi_1 \phi_2 \phi_3 \frac{\partial \chi_{13}}{\partial \phi_2} - \phi_1 \phi_3^2 \frac{\partial \chi_{13}}{\partial \phi_2} \\ &- \phi_1 \phi_3^2 \frac{\partial \chi_{13}}{\partial \phi_3} - \frac{V_1}{V_2} \phi_2^2 \phi_3 \frac{\partial \chi_{23}}{\partial \phi_2} - \frac{V_1}{V_2} \phi_2 \phi_3^2 \frac{\partial \chi_{23}}{\partial \phi_3} \\ &- \phi_1 \phi_2^2 \phi_3 \frac{\partial \chi_T}{\partial \phi_2} - \phi_1 \phi_2 \phi_3^2 \frac{\partial \chi_T}{\partial \phi_3} \\ &+ \chi_T \phi_2 \phi_3 (1 - 2\phi_1) \end{aligned} \quad (2)$$



(ب) (الف)

شکل ۷- عکس SEM غشاء ساخته شده از ۱۵ ادرصدوزنی بسپار بدون تبخیر [۱۸]: (الف) سطح بالایی، (ب) مقطع عرضی

$$\begin{aligned} \frac{\Delta\mu_2}{RT} &= \ln \phi_2 + 1 - \phi_2 - \frac{V_2}{V_1} \phi_1 - \frac{V_2}{V_3} \phi_3 \\ &+ \left(\frac{V_2}{V_1} \phi_1 \chi_{12} + \phi_3 \chi_{23} \right) (\phi_1 + \phi_3) - \frac{V_2}{V_1} \phi_1 \phi_3 \chi_{13} \\ &+ \frac{V_2}{V_1} h_1 h_2 \phi_1 \frac{d \chi_{12}}{dh_2} + \frac{V_2}{V_1} \phi_1 \phi_3 (\phi_1 + \phi_3) \frac{\partial \chi_{13}}{\partial \phi_2} - \frac{V_2}{V_1} \phi_1 \phi_3^2 \frac{\partial \chi_{13}}{\partial \phi_3} \\ &+ \phi_2 \phi_3 (\phi_1 + \phi_3) \frac{\partial \chi_{23}}{\partial \phi_2} - \phi_2 \phi_3^2 \frac{\partial \chi_{23}}{\partial \phi_3} + \frac{V_2}{V_1} \phi_1 \phi_2 \phi_3 (\phi_1 + \phi_3) \frac{\partial \chi_T}{\partial \phi_2} \\ &- \frac{V_2}{V_1} \phi_1 \phi_2 \phi_3^2 \frac{\partial \chi_T}{\partial \phi_3} + \frac{V_2}{V_1} \chi_T \phi_1 \phi_3 (1 - 2\phi_2) \end{aligned} \quad (3)$$

$$\begin{aligned} \frac{\Delta\mu_3}{RT} &= \ln \phi_3 + 1 - \phi_3 - \frac{V_3}{V_1} \phi_1 - \frac{V_3}{V_2} \phi_2 \\ &+ \left(\frac{V_3}{V_1} \phi_1 \chi_{13} + \frac{V_3}{V_2} \phi_2 \chi_{23} \right) (\phi_1 + \phi_2) - \frac{V_3}{V_1} \phi_1 \phi_2 \chi_{12} \\ &- \frac{V_3}{V_1} \phi_1 \phi_2 \phi_3 \frac{\partial \chi_{13}}{\partial \phi_2} - \frac{V_3}{V_2} \phi_2^2 \phi_3 \frac{\partial \chi_{23}}{\partial \phi_2} + \phi_3 (\phi_1 + \phi_2) \\ &\times \left[\frac{V_3}{V_1} \phi_1 \frac{\partial \chi_{13}}{\partial \phi_3} + \frac{V_3}{V_2} \phi_2 \frac{\partial \chi_{23}}{\partial \phi_3} \right] - \frac{V_3}{V_1} \phi_1 \phi_2^2 \phi_3 \frac{\partial \chi_T}{\partial \phi_2} \\ &+ \frac{V_3}{V_1} \phi_1 \phi_2 \phi_3 (\phi_1 + \phi_2) \frac{\partial \chi_T}{\partial \phi_3} + \frac{V_3}{V_1} \chi_T \phi_1 \phi_2 (1 - 2\phi_3) \end{aligned} \quad (4)$$

$$h_1 = \phi_1 / (\phi_1 + \phi_2) \quad (5)$$

$$h_2 = \phi_2 / (\phi_1 + \phi_2) \quad (6)$$

۳- پیش‌بینی دیاگرام فازی سه جزی

بررسی مطالعات انجام شده نشان می‌دهد که جهت پیش‌بینی دیاگرام فازی سیستم سه جزی می‌تواند از نظریه (فلوری - هاگینز) رایج‌تر است ولی به دلیل نیاز به محاسبه پارامترهای برهمکنش از طریق آزمایش‌های دشوار که گاهی انجام‌پذیر نمی‌باشند، اخیراً مدل محلول منظم تراکم‌پذیر جهت این پیش‌بینی بکار رفته و چون به داده‌ای آزمایشگاهی نیاز ندارد، استفاده از آن، در مقایسه با نظریه قبلی سهل‌تر است.

۳- پیش‌بینی دیاگرام فازی سه جزی بر پایه نظریه

(فلوری - هاگینز^۱)

۱-۱-۱ نظریه (فلوری - هاگینز)

این نظریه جهت بیان رفتار فازی محلول‌های بسپاری سه جزی می‌به کار می‌رود، به طوری که پارامترهای برهمکنش سه جزی محاسبه شده و انرژی آزاد گیبس محلول برای محلول بسپاری به صورت زیر به دست می‌آید:

$$\Delta G_m = RT(n_1 \ln \phi_1 + n_2 \ln \phi_2 + n_3 \ln \phi_3 + \chi_{12} n_1 \phi_2 + \chi_{13} n_1 \phi_3 + \chi_{23} n_2 \phi_3 + \chi_T n_1 \phi_2 \phi_3) \quad (1)$$

i=1 مربوط به ضحلال، i=2 مربوط به حلال و i=3 مربوط به بسپار است. پتانسیل شیمیابی سه جزء از معادلات زیر محاسبه می‌شود:

1. Flory-Huggins

انرژی آزاد گیبس مخلوط، از معادله روبه‌رو برای اجزاء مختلف

$$G_{ij} = \left(\frac{\partial^2 \overline{\Delta G}_m}{\partial \phi_i \partial \phi_j} \right)_{v_{ref}} \text{حاصل می‌شود.}$$

$$G_{22} = \frac{1}{\phi_1} + \frac{v_1}{v_2 \phi_2} - 2g_{12} + 2(u_1 - u_2) \left(\frac{dg_{12}}{du_2} \right) + u_1 u_2 \left(\frac{d^2 g_{12}}{du_2^2} \right)$$

$$G_{23} = \frac{1}{\phi_1} - (g_{12} + \chi_{13}) + \frac{v_1}{v_2} \chi_{23} + u_2 (u_1 - 2u_2) \left(\frac{dg_{12}}{du_2} \right) + u_1 u_2^2 \left(\frac{d^2 g_{12}}{du_2^2} \right)$$

$$G_{33} = \frac{1}{\phi_1} + \frac{v_1}{v_3 \phi_3} - 2\chi_{13} - 2u_2^2 (1-u_1) \left(\frac{dg_{12}}{du_2} \right) + u_1 u_2^3 \left(\frac{d^2 g_{12}}{du_2^2} \right) \quad (11)$$

با جایگذاری معادلات شماره (11) در معادله (10) و به کارگیری معادله موازنه مواد و انتخاب ϕ_3 ، به عنوان متغیر مستقل با استفاده از حل عددی (روش (نیوتون - رافسون)، مجھولات محاسبه می‌شوند [۲۴].

۳-۲ پیش‌بینی دیاگرام فازی از طریق مدل محلول منظم تراکم‌پذیر

این مدل جهت پیش‌بینی دیاگرام فازی نیازمند خواص اجزای خالص از جمله پارامتر انحلال‌پذیری، ضریب انبساط حرارتی و حجم مولی (هسته- سخت) 2 می‌باشد. بدین طریق، منحنی باینودال، منحنی اسپینودال، و نقطه بحرانی با استفاده از محاسبات عددی محاسبه می‌شوند.

۳-۱-۲ مدل محلول منظم تراکم‌پذیر

در این مدل، انرژی آزاد گیبس مخلوط در واحد حجم برای یک مخلوط سه جزیی بسپاری طبق معادله زیر محاسبه می‌شود.

پتانسیل شیمیایی هر جزء بین دو فاز (α و β) در فاز تعادلی (مابع- مایع) در یک دما و فشار خاص، برابر است [۲۱، ۲۲، ۲۳].

$$\mu_i^\alpha = \mu_i^\beta \quad (i = 1, 2, 3) \quad (12)$$

۳-۱-۳ روش محاسبه منحنی باینودال

ترکیبات باینودال مخلوطی از یک فاز غنی و یک فاز تهی از بسپار است که با یکدیگر در تعادل ترمودینامیکی می‌باشند. خطی که یک جفت از ترکیبات تعادلی فاز غنی از بسپار ($\phi_{1,A}, \phi_{2,A}, \phi_{3,A}$) و فاز تهی از بسپار ($\phi_{1,B}, \phi_{2,B}, \phi_{3,B}$) را بهم وصل می‌کند، خط تای ^۱ نامیده می‌شود.

جهت تعیین ترکیبات خط تای، لازم است شش مجھول ذکر شده اندازه گیری شوند. پنج رابطه بین آنها برقرار است که سه مورد آن از جایگذاری معادلات (۲) تا (۴) در معادله شماره (1) و دو مورد باقیمانده از روابط موازنۀ مواد بین دو فاز تهی از بسپار و غنی از بسپار به دست می‌آید.

$$\sum \phi_{i,A} = \sum \phi_{i,B} \Leftrightarrow i = 1, 2, 3 \quad (13)$$

جهت محاسبه این مجھولات، ترکیب بسپار در فاز تهی از بسپار، $\phi_{3,B}$. را به عنوان متغیر مستقل در نظر گرفته و سایر مجھولات از حل پنج معادله مذکور با روشن (نیوتون - رافسون) محاسبه می‌شوند [۲۴].

۳-۱-۳ روش محاسبه منحنی اسپینودال

مرز بین نواحی پایدار و نیمه پایدار، اسپینودال خوانده شده که با معادله زیر بیان می‌شود.

$$\frac{\partial^2 \Delta G}{\partial \phi^2} = 0 \quad (14)$$

منحنی اسپینودال از رابطه زیر به دست می‌آید.

$$G_{22} G_{33} = (G_{23})^2 \quad (15)$$

شیمیایی اجزاء از معادلات ذکر شده محاسبه می‌شوند و انرژی آزاد گیبس همان‌طور که از معادله مربوطه برمی‌آید، به پارامترهای برهمنکنش وابسته نمی‌باشد.

۳-۲-۳ روش محاسبه منحنی اسپینودال

روابط مربوط به محاسبه این منحنی به صورت زیر می‌باشد.

$$\Delta G_{22}\Delta G_{33} - \Delta G_{23}^2 = 0 \quad (16)$$

$$\begin{aligned} G_{22} &= \frac{1}{\phi_1} + \left(\frac{1}{\phi_1} \right) \left(\frac{(N_1 V_1) \tilde{\rho}_2}{(N_2 V_2) \tilde{\rho}_1} \right) - 2 \frac{(\tilde{\rho}_1 \delta_{1,0} - \tilde{\rho}_2 \delta_{2,0})^2}{RT} V_1 \\ G_{23} &= \frac{1}{\phi_1} - \left(\frac{(\tilde{\rho}_1 \delta_{1,0} - \tilde{\rho}_2 \delta_{2,0})^2}{RT} + \frac{(\tilde{\rho}_1 \delta_{1,0} - \tilde{\rho}_3 \delta_{3,0})^2}{RT} \right) V_1 \\ &\quad + \left(\frac{(N_1 V_1) \tilde{\rho}_2}{(N_2 V_2) \tilde{\rho}_1} \right) \frac{(\tilde{\rho}_2 \delta_{2,0} - \tilde{\rho}_3 \delta_{3,0})^2}{RT} V_2 \\ G_{33} &= \frac{1}{\phi_1} + \left(\frac{1}{\phi_3} \right) \left(\frac{(N_1 V_1) \tilde{\rho}_3}{(N_3 V_3) \tilde{\rho}_1} \right) - 2 \frac{(\tilde{\rho}_1 \delta_{1,0} - \tilde{\rho}_3 \delta_{3,0})^2}{RT} V_1 \end{aligned} \quad (17)$$

با جایگذاری معادلات شماره (۱۷) در معادله (۱۶) و به کارگیری معادله موازنۀ مواد و انتخاب ϕ_3 ، به عنوان متغیر مستقل با استفاده از حل عددی و استفاده از نرم افزار متلب ۷، مجهولات محاسبه می‌شوند [۲۵].

۴ نتیجه‌گیری

در تحقیق حاضر، روش ترسیم دیاگرام فازی سه جزیی بر پایه نظریۀ (فلوری - هاگینز) همچنین مدل محلول منظم تراکم‌پذیر، مورد مطالعه قرار گرفته و چند نمونه از تحقیقات صورت گرفته در ارتباط با تطبیق این دیاگرام با ریخت‌شناسی غشاء، بررسی شده است. از طریق پیش‌بینی این دیاگرام با روش نظری و شناخت و احاطه بر نواحی مختلف آن، می‌توان پیش‌بینی کرد که برای رسیدن به ریخت‌شناسی مورد نظر در چه جهتی از دیاگرام فازی باید پیش رفت. پیش‌بینی ریخت‌شناسی پیش از ساخت، گام مهمی در صنعت تولید غشاء می‌باشد. تاکنون پژوهش‌های اندکی به‌طور مستقیم

$$\begin{aligned} \Delta G_{mix} = KT &\left(\frac{\phi_1 \tilde{\rho}_1}{N_1 V_1} \ln(\phi_1) + \frac{\phi_2 \tilde{\rho}_2}{N_2 V_2} \ln(\phi_2) + \frac{\phi_3 \tilde{\rho}_3}{N_3 V_3} \ln(\phi_3) \right) \\ &+ \phi_1 \phi_2 (\tilde{\rho}_1 \delta_{1,0} - \tilde{\rho}_2 \delta_{2,0})^2 + \phi_1 \phi_3 (\tilde{\rho}_1 \delta_{1,0} - \tilde{\rho}_3 \delta_{3,0})^2 \\ &+ \phi_2 \phi_3 (\tilde{\rho}_2 \delta_{2,0} - \tilde{\rho}_3 \delta_{3,0})^2 \end{aligned} \quad (12)$$

پتانسیل شیمیایی اجزاء از طریق معادلات زیر قابل محاسبه می‌باشد.

$$\begin{aligned} \frac{\Delta \mu_1}{RT} = \ln \phi_1 + 1 - \phi_1 - &\left(\frac{(N_1 V_1) \tilde{\rho}_2}{(N_2 V_2) \tilde{\rho}_1} \right) \phi_2 - \left(\frac{(N_1 V_1) \tilde{\rho}_3}{(N_3 V_3) \tilde{\rho}_1} \right) \phi_3 + \\ &\left(\frac{(\tilde{\rho}_1 \delta_{1,0} - \tilde{\rho}_2 \delta_{2,0})^2}{RT} \phi_2 + \frac{(\tilde{\rho}_1 \delta_{1,0} - \tilde{\rho}_3 \delta_{3,0})^2}{RT} \phi_3 \right) (\phi_2 + \phi_3) V_1 - \\ &\left(\frac{(N_1 V_1) \tilde{\rho}_2}{(N_2 V_2) \tilde{\rho}_1} \right) \left(\frac{(\tilde{\rho}_2 \delta_{2,0} - \tilde{\rho}_3 \delta_{3,0})^2}{RT} \right) V_2 \phi_2 \phi_3 \end{aligned} \quad (13)$$

$$\begin{aligned} \frac{\Delta \mu_2}{RT} = \ln \phi_2 + 1 - \phi_2 - &\left(\frac{(N_2 V_2) \tilde{\rho}_1}{(N_1 V_1) \tilde{\rho}_2} \right) \phi_1 - \left(\frac{(N_2 V_2) \tilde{\rho}_3}{(N_3 V_3) \tilde{\rho}_2} \right) \phi_3 + \\ &\left(\left(\frac{(N_2 V_2) \tilde{\rho}_1}{(N_1 V_1) \tilde{\rho}_2} \right) \frac{(\tilde{\rho}_1 \delta_{1,0} - \tilde{\rho}_2 \delta_{2,0})^2}{RT} V_1 \phi_1 + \frac{(\tilde{\rho}_2 \delta_{2,0} - \tilde{\rho}_3 \delta_{3,0})^2}{RT} V_2 \phi_3 \right) \\ &(\phi_1 + \phi_3) - \left(\frac{(N_2 V_2) \tilde{\rho}_1}{(N_1 V_1) \tilde{\rho}_2} \right) \left(\frac{(\tilde{\rho}_1 \delta_{1,0} - \tilde{\rho}_3 \delta_{3,0})^2}{RT} \right) V_1 \phi_1 \phi_3 \end{aligned} \quad (14)$$

$$\begin{aligned} \frac{\Delta \mu_3}{RT} = \ln \phi_3 + 1 - \phi_3 - &\left(\frac{(N_3 V_3) \tilde{\rho}_1}{(N_1 V_1) \tilde{\rho}_3} \right) \phi_1 - \left(\frac{(N_3 V_3) \tilde{\rho}_2}{(N_2 V_2) \tilde{\rho}_3} \right) \phi_2 + \\ &\left(\left(\frac{(N_3 V_3) \tilde{\rho}_1}{(N_1 V_1) \tilde{\rho}_3} \right) \frac{(\tilde{\rho}_1 \delta_{1,0} - \tilde{\rho}_3 \delta_{3,0})^2}{RT} V_1 \phi_1 + \left(\frac{(N_3 V_3) \tilde{\rho}_2}{(N_2 V_2) \tilde{\rho}_3} \right) \frac{(\tilde{\rho}_2 \delta_{2,0} - \tilde{\rho}_3 \delta_{3,0})^2}{RT} V_2 \phi_2 \right) \\ &(\phi_1 + \phi_2) - \left(\frac{(N_3 V_3) \tilde{\rho}_1}{(N_1 V_1) \tilde{\rho}_3} \right) \left(\frac{(\tilde{\rho}_1 \delta_{1,0} - \tilde{\rho}_2 \delta_{2,0})^2}{RT} \right) V_1 \phi_1 \phi_2 \end{aligned} \quad (15)$$

همان‌طور که گفته شد، پتانسیل شیمیایی هر جزء بین دو فاز (α و β) در فاز تعادلی (مایع - مایع) در یک دما و فشار خاص، برابر است و از برابری آن مطابق روش قبل می‌توان ترکیب درصد اجزاء را محاسبه کرد [۲۵].

۳-۲-۳ روش محاسبه منحنی باینودال

روش محاسبه کاملاً مشابه محاسبه منحنی باینودال با استفاده از نظریه (فلوری - هاگینز) می‌باشد با این تفاوت که پتانسیل

- Polymer Science, 86, 1749–1761, (2002).
- [3] Germic, C.L., Zerjal, B., "Morphology Variety and Formation Mechanisms of Polymeric Membranes Strongik Prepared by Wet Phase Inversion Maribor", Journal of Membrane Science, 279, 50–60, (2006).
- [4] Bulte,A.M.W., Folkers,B.,Mulder,M.H.V.,Smolders,C.A., "Membranes of semicrystalline aliphatic polyamide nylon 4,6: formation by diffusioninduced phase separation", Journal of Applied Polymer Science, 50, 3, (1993).
- [5] Cheng, L.P., Dwan, A.W., Gryte, C.C., "Membrane formation by isothermal precipitation in polyamide-formic acid– water systems I. Description of membrane morphology", Journal of Polymer Science, Part B: Polymer Physics, 33, 211, (1995).
- [6] Bulte, A.M.W., Mulder, M.H.V., Smolders, C.A., Strathman, H., "Diffusion induced phase separation with crystallizable nylons. I. Mass transfer processes for nylon 4,6", Journal of Membrane Science, 121, 37–49, (1996).
- [7] VandeWitte,P.,Esselbrugge,H.,Dijkstra,P.J.,vandeBerg,J. W.A.,Feijen,J.A., "Morphological study of membranes obtained from the systems poly lactidioxane-methanol, poly lactide-dioxane-water, and poly lactide-N-methyl pyrrolidone-water", Journal of Polymer Science, Part B: Polymer Physics, 34, 2569 – 2578, (1996).
- [8] Young, T.H., Lai, J.Y., You, W.M., Cheng, L.P., "Equilibrium phase behavior of the membrane forming water-DMSO-EVAL copolymer system", Journal of Membrane Science, 128, 55–65, (1997).
- [9] Young, T.H., Cheng, L.P., Hsieh, C.C., Chen, L.W., "Phase behavior of EVAL polymer in water-2-propanol cosolvent", Macromolecules, 31, 1221–1235, (1998).
- [10] Young, T.H., Wang, D.M., Hsieh, C.C., Chen, L.W., "The effect of the second phase inversion on microstructures in phase inversion EVAL membranes", Journal of Membrane Science, 146, 169-178, (1998).
- [11] Mulder, M., "Basic principles of membrane technology", Kluwer Academic Publication, Dordrecht, Boston, London, 72-138, (1996).
- [12] Yunlan, G., Mingren,S., Jiajun, H., "Optimization in the preparation of polysulfone ultrafiltration membranes", Desalination, 62, 173-182, (1987).
- [13] Luo, R.L, Young, T.H., Suna, Y.M., "Structure formation and characterization of EVAL membranes with cosolvent of isopropanol and water", Polymer, 44, 157–166, (2003).
- [14] Lloyd, D.R., Kinzer, K.E., Kim, S.S., "Microporous membrane formation via thermally- induced phase separation.II. Liquid—liquid phase separation", Journal of Membrane Science, 64, 1-11, (1991).
- [15] Cheng, L.P., Lin, H.I., Chen, L.W., Young, T.H., "Solute rejection of EVAL membranes with asymmetric and microparticulate morphologies", Polymer ,39, 2135–2142, (1998).

جهت پيش‌بيني ریخت‌شناسي صورت گرفته است. اميد است با انجام تحقیقات بیشتر در این زمینه بتوان به این مهم دست یافت.

۵- فهرست علائم

ϕ_i	درصد حجمی جزء i
$\phi_{i,A}$	تركيب تعادلی فاز غنی از بسپار
$\phi_{i,B}$	تركيب تعادلی فاز تهی از بسپار
n_i	تعداد مول های جزء i
N_i	تعداد اجزاء
R	ثابت گازها
K	ثابت بولتزمن
T	دما
χ_{ij}	پارامتر برهمکنش دو جزئی بین دو جزء i و j
g_{12}	پارامتر برهمکنش (ضدحلال / حلال)
χ_T	ضریب تصحیح تجربی
μ_i	پتانسیل شیمیایی جزء i
μ_i^0	پتانسیل شیمیایی حالت استاندارد
V_i	حجم مولی جزء i
V_u	حجم مولی بسپار
V_s	حجم مولی (هسته- سخت)
V_{ref}	حجم مولی جزء مرجع
ΔG_m	انرژی آزاد گیبس مخلوط در واحد حجم
δ_{ij}	پارامتر انحلال پذیری
$\delta_{i,0}$	پارامتر انحلال پذیری (هسته- سخت)
$\tilde{\rho}_i$	چگالی (هسته- سخت)

مراجع

- [1] Lee, K.W.D., Chan, P.K., Feng, X., "Morphology development and characterization of the phase-separated structure resulting from the thermal-induced phase separation phenomenon in polymer solutions under a temperature gradient", Chemical Engineering Science, 59 , 1491 – 1504, (2004).
- [2] Malaisamy, R. , Mahendran, R., Mohan, D., Rajendran, M., Mohan, V., "Cellulose acetate and sulfonated polysulfone blend ultrafiltration membranes. I. Preparation and characterization", Journal of Applied

- [16] Cheng, L.P., Young, T.H., You, Y.M., "Formation of crystalline EVAL membranes by controlled mass transfer process in water–DMSO–EVAL copolymer systems", *Journal of Membrane Science*, 145, 77–90, (1998).
- [17] Young,T.H., Cheng, L.P., You, W.M., Chen, L.Y., "Prediction of EVAL membrane morphologies using the phase diagram of water–DMSO–EVAL at different temperatures", *Polymer*, 40,2189–2195, (1999).
- [18] T.H. Young, Y.H. Huang, L.Y. Chen, "Effect of solvent evaporation on the formation of asymmetric and symmetric membranes with crystallizable EVAL polymer", *Journal of Membrane Science*, 164, 111–120, (2000).
- [19] Cheng, L.P., Dwan, A.W., Gryte, C.C., "Membrane formation by isothermal precipitation in polyamide-formic acid–water systems II. Precipitation dynamics", *Journal of Polymer Science, Part B: Polymer Physics*, 33, 223–235, (1995).
- [20] Reuvers, A.J., van der Berg, J.W.A., Smolders, C.A., "Formation of membranes by means of immersion precipitation Part I. A model to describe mass transfer during immersion precipitation", *Journal of Membrane Science*, 34,45–65, (1987).
- [21] Young, T.H., Chuang, W.Y., "Thermodynamic analysis on the cononsolvency of poly (vinyl alcohol) in water–DMSO mixtures through the ternary interaction parameter", *Journal of Membrane Science*, 210, 349–359, (2002).
- [22] Cheng, L.P., Dwan, A.W., Gryte, C.C., "Isothermal phase behavior of nylon- 6-66, and 610 polyamides in formic acid–water systems", *Journal of Polymer Science, Part B: Polymer Physics*, 32,1183–1190, (1994).
- [23] Lam, S.Y., Benoit, R.L., "Some thermodynamic properties of the dimethylsulfoxide–water and propylene carbonate–water systems at 25 °C", *Canadian Journal of Chemistry*,52, 718–722, (1974).
- [24] Barzin, J., Sadatnia, B., "Theoretical phase diagram calculation and membrane morphology evaluation for water/solvent/polyethersulfone systems", *Polymer*, 48, 1620-1631, (2007)
- [25] Maghsoud, Z., Navid Famili, M. H., Madaeni, S. S., "Phase Diagram Calculations of Water/Tetrahydrofuran/Poly(vinyl chloride)TernarySystem Based on a Compressible Regular Solution Model",*Iranian Polymer Journal*,19 (8), 581-588,(2010).